

极限偏振理论在脉冲星辐射中应用

基于Lyubarskii & Petrova 1999 文章

曹顺顺

北京大学

2025 年 4 月 14 日

Outline

1 简要回顾

2 文章介绍

3 基本方程

4 均匀非转磁层

5 旋转磁层

6 参考文献

脉冲星辐射在磁层中传播过程

脉冲星磁层中的传播过程决定了辐射的偏振末态。研究传播过程主要是考虑磁层中波模的特性，即不同模式的色散关系和偏振本征态。脉冲星磁层，或者说更一般的磁化等离子体的一个基本特性在于**双折射**：磁场破坏了对称性，类似晶体中的光轴，引入了**寻常波模** (Ordinary mode, O mode) 和**非寻常波模** (Extraordinary mode, E/X mode). 强磁场中的它俩在观测上对应了脉冲星辐射中的**正交偏振模式** (Orthogonal Polarization Mode, OPM).

极限偏振 (limiting polarization)¹

射电波从脉冲星磁层中出来的过程中，一定会经历一个磁层粒子数密度降低的区域。当粒子数密度足够低的时候，磁层不再对射电波有影响，这时我们可以说射电波的偏振已经被决定了，不再变了。这个不再变的偏振往往被称为**极限偏振** (**limiting polarization**)。若想定量描述射电波偏振行为，极限偏振是必须考虑的。极限偏振被决定下来的区域，在脉冲星磁层中一般叫**limiting polarization region**或**polarization limiting region** (PLR)。

¹这个中文翻译参考了金兹堡的《电磁波在等离子体中的传播》的翻译。

研究极限偏振的一个难点在于介质不均匀，这种不均匀性会引起波模之间的耦合。今天我们来看看极限偏振理论在脉冲星磁层中的一个应用：解释脉冲星信号中的圆偏振。报告基于Lyubarskii与Petrova于1999年发表在 *Astrophysics and Space Science* 的文章“ON THE CIRCULAR POLARIZATION OF PULSAR RADIATION”。

目标：圆偏振

脉冲星辐射中的圆偏振：

- 通常不如线偏振显著
- 有的在脉冲经度区间里符号相同
- 有的存在圆偏振变号，且经常在轮廓中心位置

圆偏振的产生机制分成两类：辐射机制产生圆偏振；传播过程产生圆偏振。

脉冲星磁层基本特点

- 偶极磁场主导, 表面磁场很强 (10^8 – 10^{12} G)
- 电子-正电子等离子体, 相对论性 ($\gamma \sim 10^2$)
- 如果磁场可看作无穷强, 本征波模是线偏振的 (后面也会看到)
- 射电辐射来自开放磁力线区

在恒定无穷强磁场的均匀介质中, O模在波矢 \mathbf{k} 与磁场方向矢量 \mathbf{b} 张成的平面内, X模则垂直于这个平面.

极限偏振半径 (polarization-limiting radius)

回顾三周前介绍的Budden 1952电离层文章，在导出波模耦合方程后，Budden引入了一个描述耦合程度的参数：

$$\psi = \frac{i}{R_O^2 - 1} \frac{dR_O}{dh} \quad (1)$$

$R_O = E_{O,2}/E_{O,1}$ 是O模式的偏振参数 (也可用X模的)。 ψ 足够小时, 耦合就不复存在。对于高频波来说, ψ 的临界值约为:

$$|\psi| \approx k|n_O - n_X|/2 \quad (2)$$

极限偏振半径 (polarization-limiting radius)

ψ 可表征偏振的变化率, 或者介质参数的变化率。在脉冲星磁层中, ψ 与磁力线的曲率半径量级一致, 因而也跟与脉冲星中心之间的距离在同一量级。记磁层中波模之间发生显著耦合的位置距离脉冲星中心 r_p , 即极限偏振半径, 它满足:

$$\frac{\omega}{c} |n_O - n_X| r_p \sim 1 \quad (3)$$

[Cheng and Ruderman, 1979]、[Barnard, 1986]等文章利用这个公式对极限偏振半径做了估计，对于1 GHz的电磁波，周期为1秒的、表面磁场 10^{12} G的脉冲星磁层中极限偏振半径约为1000倍中子星半径。

文章的大致结构

首先列出基本方程，推导出脉冲星磁层中磁场近似无穷强情形下的波模耦合方程。考虑由于转动导致的变化的磁场，在一些极限情况下给出末态的偏振，计算圆偏振度。

本文档不会展示所有计算细节，但会说明文章推导中使用的近似。

麦克斯韦方程组和电荷守恒 (1)

射电波的电磁场 (扰动场) 满足:

$$\begin{cases} \nabla \times \mathbf{B} = -\frac{i\omega}{c} \mathbf{E} + \frac{4\pi}{c} \mathbf{j}_1 \\ \nabla \times \mathbf{E} = \frac{i\omega}{c} \mathbf{B} \end{cases} \quad (4)$$

其中 \mathbf{j}_1 是扰动电流。本文假设未扰动的 e^\pm 速度 \mathbf{v}_0 与数密度 n_0 分布都相同, 故未扰动的电流 $\mathbf{j}_0 = 0$, 扰动电流可写为:

$$\begin{aligned} \mathbf{j}_1 &= (n_0 + n_1^+)(+e)(\mathbf{v}_0 + \mathbf{v}_1^+) + (n_0 + n_1^-)(-e)(\mathbf{v}_0 + \mathbf{v}_1^-) - \mathbf{j}_0 \\ &= e[\mathbf{v}_0(n_1^+ - n_1^-) + n_0(\mathbf{v}_1^+ - \mathbf{v}_1^-)] \end{aligned} \quad (5)$$

麦克斯韦方程组和电荷守恒 (2)

j_1 满足电荷守恒方程为：

$$-i\omega e(n_1^+ - n_1^-) + \nabla \cdot \mathbf{j}_1 = 0 \quad (6)$$

以上的方程均已采用谐振解, $\partial/\partial t = -i\omega$

带电粒子运动方程 (1)

首先，相对论粒子在外电磁场中的一般运动方程为：

$$\frac{d(\gamma m \mathbf{v})}{dt} = e[\mathbf{E} + \mathbf{v} \times \mathbf{B}/c] \quad (7)$$

在近似无穷强的、旋转²的背景磁场中，可将带电粒子视作被串在磁力线上运动，即将粒子运动简单分成两部分：沿磁力线的运动，和跟磁力线一起转的运动：

$$\mathbf{v} = v_b \mathbf{b} + \boldsymbol{\Omega} \times \mathbf{r} \quad (8)$$

²如果磁场对称中心与自转轴重合，就没有磁场旋转。

带电粒子运动方程 (2)

把一般运动方程7展开：

$$\gamma m \frac{d\mathbf{v}}{dt} + \gamma^3 m \mathbf{v} \mathbf{v} \frac{dv}{dt} / c^2 = e[\mathbf{E} + \mathbf{v} \times \mathbf{B} / c] \quad (9)$$

考虑到 $\gamma \gg 1$, 上式左边只保留 γ^3 项。且由于 $v_b \gg |\Omega \times \mathbf{r}|$ 以及 $v_b \approx c$, 上式左边可进一步改写为:

$$\gamma^3 m \frac{v_b}{dt} \mathbf{b} \quad (10)$$

运动方程最终改写为 (其中 $d/dt = -i\omega + \mathbf{v}^\pm \cdot \nabla$):

$$\gamma^3 m \frac{v_b^\pm}{dt} = \pm e [\mathbf{E} + \mathbf{v} \times \mathbf{B}/c] \cdot \mathbf{b} \quad (11)$$

两个麦克斯韦方程4、电荷守恒方程6和运动方程11构成对电磁波波-磁层等离子体相互作用的自洽的描述。由于极限偏振区域粒子数密度低，波模的折射率都接近1，可以不考虑折射。取波矢方向为 z 轴，只需要考虑 z 方向上的参数变化。

方便起见，把速度分解也代入电流表达式：

$$\mathbf{j}_1 = e[v_b(n_1^+ - n_1^-) + n_0(v_1^+ - v_1^-)]\mathbf{b} + e(n_1^+ - n_1^-)(\boldsymbol{\Omega} \times \mathbf{r}) = j_b\mathbf{b} + \mathbf{j}_{\Omega \times r} \quad (12)$$

把正电子和电子的运动方程相减（得到都是 $n_+ - n_-$ 的形式）：

$$\gamma^3 m \left[-i\omega(v_1^+ - v_1^-) + v_{0z} \frac{d(v_1^+ - v_1^-)}{dz} \right] = 2e \left[\mathbf{E} - \frac{i(\boldsymbol{\Omega} \times \mathbf{r}) \times (\nabla \times \mathbf{E})}{\omega} \right] \cdot \mathbf{b} \quad (13)$$

空间分量的分解

由于折射率接近1, 波动的空间分量应该接近 $\exp(i\frac{\omega}{c}z)$, 于是可以把扰动量写为:

$$\begin{cases} E_{x,y,z} = a_{x,y,z}(z) \exp(i\frac{\omega}{c}z) \\ j_b = a_j(z) \exp(i\frac{\omega}{c}z) \\ n_1^+ - n_1^- = a_n(z) \exp(i\frac{\omega}{c}z) \end{cases} \quad (14)$$

其中振幅 $a_\mu(z)$ 是 z 的缓慢变化的函数, 满足:

$$\frac{da_\mu}{dz} \ll \frac{a_\mu \omega}{c} \quad (15)$$

耦合方程推导 (1)

在麦克斯韦方程中消去B，再引入一个量：

$$\mathbf{q} = \frac{\mathbf{b} \times (\boldsymbol{\Omega} \times \mathbf{r})}{c} \quad (16)$$

代入上一页的空间分量分解，利用振幅缓慢变化的特定舍去高阶导数项，首先得到电场分量方程：

$$\begin{cases} \frac{da_x}{dz} + \frac{2\pi}{c} [a_j b_x + e a_n (\boldsymbol{\Omega} \times \mathbf{r})_x] = 0, \\ \frac{da_y}{dz} + \frac{2\pi}{c} [a_j b_y + e a_n (\boldsymbol{\Omega} \times \mathbf{r})_y] = 0, \\ a_z + \frac{4\pi i}{\omega} [a_j b_z + e a_n (\boldsymbol{\Omega} \times \mathbf{r})_z] = 0, \end{cases} \quad (17)$$

耦合方程推导 (2)

加上电荷守恒:

$$ea_n \left[1 - \left(\frac{\Omega \times \mathbf{r}}{c} \right)_z \right] - \frac{a_j}{c} b_z = 0 \quad (18)$$

运动方程:

$$\begin{aligned} & -i\omega(a_j - ev_b a_n) \left[1 - \frac{v_b}{c} b_z - \left(\frac{\Omega \times \mathbf{r}}{c} \right)_z \right] \\ &= \frac{2e^2 n_0}{m\gamma^3} [a_x(b_x + q_y) + a_y(b_y - q_x) + a_z b_z] \end{aligned} \quad (19)$$

从5个方程中消去 a_z , a_n 和 a_j

耦合方程推导 (3)

引入一个参数 R :

$$R = \frac{4\pi n_0 e^2 / m}{\omega c \gamma^3 (1 - \beta_z)^2} = \frac{\omega_p^2}{2\omega c \gamma^3 (1 - \beta_z)^2} \quad (20)$$

其中 $\beta_z = \left(\frac{\Omega \times \mathbf{r}}{c} \right)_z + \frac{v_b}{c} b_z$. 在高频波近似下 ($Rc/\omega \ll 1$), 整理可得波模耦合方程:

$$\begin{cases} \frac{da_x}{dz} = -iR[(b_x + q_y)^2 a_x + (b_x + q_y)(b_y - q_x)a_y] \\ \frac{da_y}{dz} = -iR[(b_x + q_y)(b_y - q_x)a_x + (b_y - q_x)^2 a_y] \end{cases} \quad (21)$$

均匀非转磁层情形

在均匀非转磁层中, $\mathbf{q} = 0$, R 和 \mathbf{b} 都不依赖于 z . 并且扰动空间分量应正比 $\exp(i\frac{\omega}{c}nz)$, 即 $a_\mu(z)$ 正比 $\exp(-i\frac{\omega}{c}(1-n)z)$, 于是耦合方程化为:

$$\begin{pmatrix} Rb_x^2 - \frac{\omega}{c}(1-n) & Rb_x b_y a_y \\ Rb_x b_y & Rb_y^2 - \frac{\omega}{c}(1-n) \end{pmatrix} \begin{pmatrix} a_x \\ a_y \end{pmatrix} = 0 \quad (22)$$

矩阵行列式为0, 可得折射率 n 的两个解, 即两个色散关系:

$$n = 1 - \frac{\omega_p^2}{2\omega^2\gamma^3} \frac{b_x^2 + b_y^2}{(1 - \beta_z)^2}, \quad n = 1 \quad (23)$$

两个本征波模

这两个色散关系对应的本征矢量（本征波模）分别为：

$$-b_y a_x + b_x a_y = 0, \quad b_x a_x + b_y a_y = 0 \quad (24)$$

前者平行磁力线平面，后者垂直磁力线平面。依照前面的定义，前者是O模，后者是E/X模。这两个解最早由[Melrose and Stoneham, 1977]给出，是讨论磁层传播特性的基础之一。下面考虑旋转，以解析更真实的传播过程。

旋转磁层中的非耦合解 (1)

对耦合波模方程采取 (类WKB的) 试探解 $a_{x,y} = a_{x,y}^{(0)} \exp[G(z)]$ ，得：

$$\begin{cases} \frac{da_x^{(0)}}{dz} + a_x^{(0)} \frac{dG}{dz} = -iR[(b_x + q_y)^2 a_x^{(0)} + (b_x + q_y)(b_y - q_x)a_y^{(0)}] \\ \frac{da_y^{(0)}}{dz} + a_y^{(0)} \frac{dG}{dz} = -iR[(b_x + q_y)(b_y - q_x)a_x^{(0)} + (b_y - q_x)^2 a_y^{(0)}] \end{cases} \quad (25)$$

当 $R_z \gg 1$ 且 G 与 R_z 在同一量级时，可忽略 $da_{x,y}^{(0)}/dz$ 项，得到新的本征方程：

$$\begin{pmatrix} dG/dz + iR(b_x + q_y)^2 & iR(b_x + q_y)(b_y - q_x) \\ iR(b_x + q_y)(b_y - q_x) & dG/dz + iR(b_y - q_x)^2 \end{pmatrix} \begin{pmatrix} a_x^{(0)} \\ a_y^{(0)} \end{pmatrix} = 0 \quad (26)$$

旋转磁层中的非耦合解 (2)

取行列式为0, 得本征值以及本征矢量解为:

$$\begin{cases} \left(\frac{dG}{dz} \right)_o = -iR[(b_x + q_y)^2 + (b_y - q_x)^2] \\ \left(\frac{dG}{dz} \right)_e = 0 \end{cases} \quad (27)$$

$$\begin{cases} \left(\frac{a_x^{(0)}}{a_y^{(0)}} \right)_o = \frac{b_x + q_y}{b_y - q_x} \\ \left(\frac{a_x^{(0)}}{a_y^{(0)}} \right)_e = -\frac{b_y - q_x}{b_x + q_y} \end{cases} \quad (28)$$

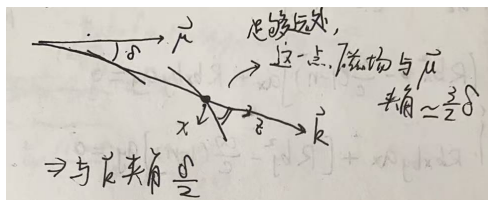
从式27也可见 G 与 Rz 在同一量级的假设成立。如果没有旋转($q = 0$), 则本征模式退回到均匀磁层的情形。

旋转磁层中的非耦合解 (3)

我们发现, 当 $Rz \gg 1$ (n 足够大或 γ 足够小) 时, 空间每一点处的本征模式, 与一个参数与该点相同的均匀介质中的本征模式, 是一样的。这与Budden 1952文章电离层中的结论一致, 在这种情况下波模独立传播, 几何光学近似/WKB近似成立。式28反映了内层磁层中波模“跟随”局域磁场的特性, 即[Cheng and Ruderman, 1979]提出的“Adiabatic walking”.

旋转磁层位形 (1)

当 $R_z \sim 1$ 时, 非耦合解就不成立了。首先需要得出 \mathbf{b} 和 \mathbf{q} 对 z 的依赖, 这取决于磁场位形。我们这里只考虑旋转偶极场, 而磁层电流引起的磁场扭转是更高阶的效应。

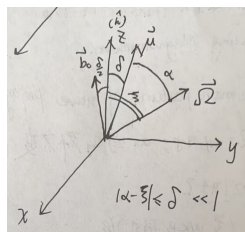


假设波矢与磁轴夹角 δ (小角度), 初始时刻磁场在 $z - x$ 平面内, 则初始的磁场方向为:

$$\mathbf{b} = (\sin(\delta/2), 0, \cos(\delta/2)) \approx (\delta/2, 0, 1 - \delta^2/8) \quad (29)$$

旋转磁层位形 (2)

加上旋转，假设自转轴与磁轴夹角 α ，与波矢夹角 ξ ，自转轴、磁轴、波矢不一定共面，因此 $|\alpha - \xi| \leq \delta$.



经过一些矩阵运算后，结合小角近似我们得到：

$$\begin{cases} b_x = \frac{\delta}{2} + \Omega t \sin \xi \frac{\sqrt{\delta^2 - (\alpha - \xi)^2}}{\delta} \\ b_y = \pm \Omega t \sin \xi \frac{\alpha - \xi}{\delta} \end{cases} \quad (30)$$

旋转磁层位形 (3)

以及 $b_z = 1 - (b_x^2 + b_y^2)/2$. 式子中的 t 可以用 z/c 代换掉。有了 \mathbf{b} 之后可直接算 \mathbf{q} :

$$\mathbf{q} = \left(\mp \frac{\Omega z}{c} \sin \xi \frac{\alpha - \xi}{\delta}, \frac{\Omega z}{c} \sin \xi \frac{\sqrt{\delta^2 - (\alpha - \xi)^2}}{\delta}, 0 \right) \quad (31)$$

以上两式中符号不确定的部分决定于 $\mu \cdot (\mathbf{k} \times \boldsymbol{\Omega})$, 或者说是波矢相对于磁轴和自转轴张成平面 (基准平面) 的位置。

转动较慢脉冲星的近似 (1)

要解析求解波模耦合方程，需要代入**b**和**q**。这俩矢量都不简单，所以比较好做的是取一些极限来简化它们。首先我们考虑转动较慢的脉冲星，让 b_x 的第二项远小于第一项，此时 β_z 可以写成：

$$\beta_z = \left(\frac{\Omega \times \mathbf{r}}{c} \right)_z + \frac{v_b}{c} b_z \approx 0 + 1 \cdot (1 - b_{x0}^2/2) = 1 - \delta^2/8 \quad (32)$$

于是 $R \approx \frac{32\omega_p^2}{\omega c \gamma^3 \delta^4}$ 。根据极限偏振半径的定义，引入 z_p 满足：

$$\frac{8\omega_p^2(z_p)z_p}{\omega c \gamma^3 \delta^2} = 1 \quad (33)$$

转动较慢脉冲星的近似 (2)

考虑 $\omega_p^2 \propto n_e \propto z^{-3}$, 可将 R 改写成:

$$R = \frac{4}{z_p \delta^2} \frac{z_p^3}{z^3} \quad (34)$$

有 $z_p/r_L \delta \ll 1$ ($r_L = c/\Omega$). 再代 \mathbf{b} 和 \mathbf{q} 入耦合波模方程, 最后可得:

$$\begin{cases} \frac{da_x}{du} - iua_x = i \frac{z_p}{r_L \delta} \eta (4b_1 a_x \pm 2b_2 a_y) \\ \frac{da_y}{du} = \pm i \frac{z_p}{r_L \delta} 2\eta b_2 a_x \end{cases} \quad (35)$$

其中 $u = z_p/z$, $\eta = 2 \sin \xi$, $b_1 = \sqrt{\delta^2 - (\alpha - \xi)^2}/\delta$, $b_2 = (\alpha - \xi)/\delta$.

转动较慢脉冲星的近似 (3)

等式的右边表现出耦合。如果入射纯线偏振O模, $a_{x0} = C_x$, $a_{y0} = 0$, 则可得最低阶的解为:

$$\begin{cases} a_x = C_x \exp(iu^2/2) \\ a_y = \pm i \frac{2z_p}{r_L \delta} \eta b_2 C_x \int_{z_p/z_0}^u \exp(iu'^2/2) du' \end{cases} \quad (36)$$

当 $z \rightarrow \infty$, 得出射末态解为:

$$\begin{cases} a_x = C_x \\ a_y = \mp i \sqrt{2\pi} \frac{z_p}{r_L \delta} \eta b_2 C_x \exp(i\pi/4) \end{cases} \quad (37)$$

转动较慢脉冲星的近似 (4)

有虚部出现，代表有圆偏振成分：

$$\Pi_V = \frac{V}{I} = \frac{i(a_y a_x^* - a_x a_y^*)}{a_x a_x^* + a_y a_y^*} = \pm 4\sqrt{\pi} \frac{z_p}{r_L \delta} \sin \xi \frac{\alpha - \xi}{\delta} \quad (38)$$

选取特定的参数组，可以实现 $\Pi_V > 0.1$ ，得到足够显著的圆偏振。

Reference I

[Barnard, 1986] Barnard, J. J. (1986).

Probing the magnetic field of radio pulsars - a reexamination of polarization position angle swings.

The Astrophysical Journal, 303:280.

[Beskin and Philippov, 2012] Beskin, V. S. and Philippov, A. A. (2012).

On the mean profiles of radio pulsars - I. Theory of propagation effects.

MNRAS, 425(2):814–840.

Reference II

[Cheng and Ruderman, 1979] Cheng, A. F. and Ruderman, M. A. (1979).

A theory of subpulse polarization patterns from radio pulsars.

ApJ, 229:348–360.

[Melrose and Stoneham, 1977] Melrose, D. B. and Stoneham, R. J. (1977).

The natural wave modes in a pulsar magnetosphere.

PASA, 3:120–122.